

Экранирование низкочастотных электрических полей системой экранов: тонкая незамкнутая эллипсоидная оболочка–тонкостенный пронцаемый цилиндр

© С.М. Аполлонский,¹ В.Т. Ерофеев,² Г.Ч. Шушкевич³

¹ Международная академия наук экологии и безопасности жизнедеятельности, 194021 Санкт-Петербург, Россия

² Белорусский государственный университет, 220050 Минск, Белоруссия

³ Гродненский государственный университет им. Я. Купалы, 230023 Гродно, Белоруссия
e-mail: appolo@promt.spb.su

(Поступило в Редакцию 17 декабря 2002 г.)

Решена задача о проникновении низкочастотного электрического поля через тонкостенный бесконечный проводящий цилиндр, на оси которого находится идеально тонкая незамкнутая эллипсоидная проводящая оболочка, методом парных уравнений с использованием соответствующих теорем сложения и усредненных граничных условий. Численно исследовано влияние угла раствора незамкнутой эллипсоидальной оболочки на коэффициент ослабления поля внутри этой оболочки для некоторых геометрических параметров экранов.

С практической и теоретической точек зрения важным классом задач электродинамики являются задачи экранирования электромагнитных полей (ЭМП). В случае тонкостенных экранов не проводят исследование электромагнитных процессов в слое экрана, а связывают ЭМП по обе стороны проводящего экрана с помощью эквивалентных граничных условий, заданных на срединной поверхности экрана [1–3]. Такой подход строго обоснован, если толщина экрана не превышает глубину проникновения ЭМП. В данной работе исследуется проникновение низкочастотного электрического поля через тонкостенную цилиндрическую проводящую оболочку в присутствии тонкой незамкнутой эллипсоидальной идеально проводящей оболочки. Полученные результаты могут быть использованы при конструировании экранирующих систем.

Постановка задачи экранирования

Пусть в однородном изотропном пространстве R^3 с диэлектрической проницаемостью ϵ_0 находится тонкостенный бесконечный цилиндр Γ толщины Δ . На оси цилиндра расположена идеально тонкая незамкнутая вытянутая эллипсоидальная идеально проводящая оболочка S , расположенная на вытянутом эллипсоиде вращения S_1 (см. рисунок). Среда, заполняющая тонкостенный цилиндр Γ , характеризуется диэлектрической проницаемостью ϵ , магнитной проницаемостью μ и электрической проводимостью γ . На окружности радиуса $l > d$ равномерно распределен электрический заряд q , колеблющийся по закону $q \cos \omega t$, где ω — круговая частота.

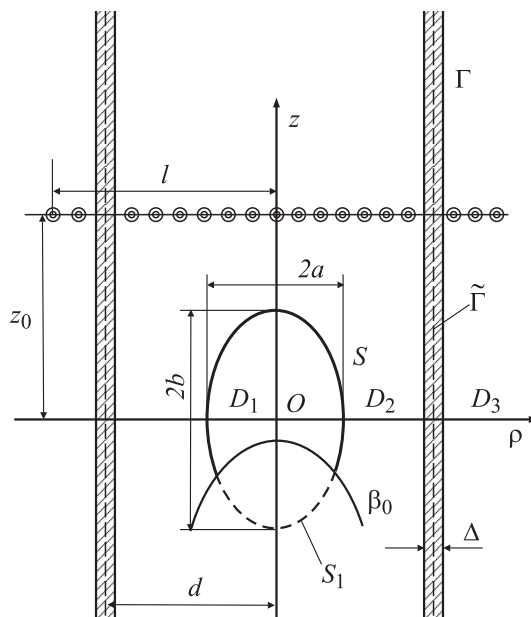
Для решения задачи свяжем с точкой O цилиндрические $\{\rho, \varphi, z\}$ и вырожденные эллипсоидные $\{\alpha, \beta, \varphi\}$

координаты. Оболочка S в системе координат $\{\alpha, \beta, \varphi\}$ описывается следующим образом:

$$S = \left\{ \alpha = \alpha_0 = \text{Arch} \frac{b}{c}, 0 \leq \beta \leq \beta_0 < \pi, 0 \leq \varphi \leq 2\pi \right\},$$

где $c = \sqrt{b^2 - a^2}$ — половина межфокусного расстояния, b и a — большая и малая полуоси эллипсоида соответственно.

Далее условно разобьем все пространство R^3 поверхностью эллипсоида S_1 и срединной поверхностью $\tilde{\Gamma}$ тонкостенного цилиндра Γ радиуса d на три области: D_1 — область, расположенная внутри эллипсоида S_1 , D_3 — область вне цилиндра $\tilde{\Gamma}$, $D_2 = R^3 \setminus (D_1 \cup D_2)$.



Ставится задача о рассеянии первичного поля на системе экранов Γ и S с учетом проникновения поля через цилиндрический слой Γ , при этом предполагается непроницаемость оболочки S для поля.

Обозначим через U_d потенциал первичного поля, U_j — потенциал вторичного поля в области D_j , $j = 1, 2, 3$. В квазистационарном приближении решение задачи сводится к нахождению электрических потенциалов U_j в областях D_j , $j = 1, 2, 3$, удовлетворяющих:

$$\text{уравнению Лапласа } \Delta U_j = 0;$$

граничным условиям на срединной поверхности $\tilde{\Gamma}$ [4, с. 86], описывающим проникновение поля через тонкостенный цилиндрический слой Γ ,

$$\frac{\partial}{\partial \rho} (U_3 + U_d - U_2) \Big|_{\tilde{\Gamma}} = -pF(U_3 + U_d + U_2) \Big|_{\tilde{\Gamma}}, \quad (1)$$

$$\frac{\partial}{\partial \rho} (U_3 + U_d + U_2) \Big|_{\tilde{\Gamma}} = qF(U_3 + U_d - U_2) \Big|_{\tilde{\Gamma}}, \quad (2)$$

где

$$p = \frac{\varepsilon' \delta}{2\varepsilon_0}, \quad q = \frac{2}{\omega^2 \delta \mu \varepsilon_0}, \quad \delta = \frac{2}{k} \operatorname{tg} \left(\frac{k\Delta}{2} \right),$$

$$k = \omega \sqrt{\mu \varepsilon'}, \quad 0 \leq \arg k < \pi,$$

$$\varepsilon' = \varepsilon + i \frac{\gamma}{\omega}$$

— комплексная диэлектрическая проницаемость; $\omega = 2\pi f$ — круговая частота поля; $F(U_j) = (\mathbf{n}, \operatorname{rot} [\mathbf{n} \times \operatorname{grad} U_j])$ — граничный оператор на срединной поверхности $\tilde{\Gamma}$ цилиндрической оболочки Γ ; \mathbf{n} — единичная нормаль к поверхности $\tilde{\Gamma}$, направленная в область D_3 ;

граничному условию на поверхности тонкой незамкнутой эллипсоидальной идеально проводящей оболочке S

$$U_2(M) \Big|_{M \in S} = V - \text{const}, \quad (3)$$

условию на бесконечности

$$U_j(M) \rightarrow 0 \quad \text{при } M \rightarrow \infty; \quad j = 2, 3, \quad (4)$$

где M — произвольная точка области D_j .

Потребуем также выполнения условия непрерывности потенциала на поверхности S_1 и условия непрерывности поля на открытой части поверхности эллипсоида $S_1 \setminus S$

$$U_1 = U_2, \quad \alpha = \alpha_0, \quad 0 \leq \beta \leq \pi, \quad (5)$$

$$\frac{\partial U_1}{\partial \alpha} = \frac{\partial U_2}{\partial \alpha}, \quad \alpha = \alpha_0, \quad \beta_0 < \beta \leq \pi. \quad (6)$$

Граничный оператор $F(U_j)$ в цилиндрической системе координат имеет представление [3]

$$F(U_j) = \frac{1}{\rho^2} \frac{\partial^2}{\partial \varphi^2} U_j + \frac{\partial^2}{\partial z^2} U_j. \quad (7)$$

Представление решения задачи

Потенциал первичного поля имеет представление

$$U_d = U_0 \int_{-\infty}^{\infty} f(\lambda) \frac{I_0(\lambda \rho)}{I_0(\lambda d)} \exp(i\lambda z) dz, \quad (8)$$

где

$$U_0 = \frac{q}{4\pi^2 \varepsilon_0}, \quad f(\lambda) = K_0(|\lambda|l) I_0(\lambda d) \exp(-i\lambda z_0),$$

z_0 — расстояние от начала координат.

Потенциалы U_j ищем в виде суперпозиции цилиндрических и эллипсоидальных гармонических функций так, чтобы выполнялось условие на бесконечности (4),

$$U_1(\alpha, \beta) = \frac{U_0}{d} \sum_{n=0}^{\infty} \tilde{y}_n \frac{P_n(\operatorname{ch} \alpha)}{P_n(\operatorname{ch} \alpha_0)} P_n(\cos \beta) \quad \text{в } D_1,$$

$$U_2 = U_2^{(1)}(\alpha, \beta) + U_2^{(2)}(\rho, z) \quad \text{в } D_2, \quad (9)$$

где

$$U_2^{(1)}(\alpha, \beta) = \frac{U_0}{d} \sum_{n=0}^{\infty} y_n \frac{Q_n(\operatorname{ch} \alpha)}{Q_n(\operatorname{ch} \alpha_0)} P_n(\cos \beta), \quad (10)$$

$$U_2^{(2)}(\rho, z) = U_0 \int_{-\infty}^{\infty} Z(\lambda) \frac{I_0(\lambda \rho)}{I_0(\lambda d)} \exp(i\lambda z) d\lambda, \quad (11)$$

$$U_3(\rho, z) = U_0 \int_{-\infty}^{\infty} \tilde{Z}(\lambda) \frac{K_0(|\lambda|\rho)}{K_0(|\lambda|d)} \exp(i\lambda z) d\lambda \quad \text{в } D_3. \quad (12)$$

Здесь $P_n(\cos \beta)$ — полиномы Лежандра, $P_n(z)$ и $Q_n(z)$ — функции Лежандра первого и второго рода соответственно, $I_m(x)$ — модифицированная функция Бесселя первого рода, $K_m(x)$ — модифицированная функция Бесселя второго рода (функция Макдональда) [5–8].

Неизвестные коэффициенты \tilde{y}_n , y_n и функции $\tilde{Z}(\lambda)$, $Z(\lambda)$ подлежат определению из граничных условий.

Выполнение граничных условий

Для выполнения граничных условий (1), (2) представим потенциал $U_2^{(1)}(\alpha, \beta)$ через цилиндрические гармонические функции, используя соответствующие теоремы сложения [3,9]. Тогда

$$U_2^{(1)}(\rho, z) = U_0 \int_{-\infty}^{\infty} M(\lambda) K_0(|\lambda|\rho) \exp(i\lambda z) d\lambda, \quad (13)$$

где

$$M(\lambda) = \frac{c}{\pi d} \sum_{n=0}^{\infty} \frac{j_n(c\lambda)}{i^n Q_n(\operatorname{ch} \alpha_0)} y_n, \quad (14)$$

$j_n(z)$ — сферическая функция Бесселя первого рода [5,9].

Принимая во внимание представления (8), (11)–(13), представление граничного оператора $F(U_j)$ в цилиндрической системе координат (7) и выполняя граничные условия (1), (2), получим систему вида

$$\begin{aligned} & (K'_0(x)|\lambda| - \lambda^2 p K_0(x)) I_0(x) \tilde{Z}(\lambda) \\ & - (I'_0(x)|\lambda| + \lambda^2 p I_0(x)) K_0(x) Z(\lambda) \\ & = (K'_0(x)|\lambda| + \lambda^2 p K_0(x)) I_0(x) K_0(x) M(\lambda) \\ & + (\lambda^2 p I_0(x) - |\lambda| I'_0(x)) K_0(x) f(\lambda), \\ & (K'_0(x)|\lambda| + \lambda^2 q K_0(x)) I_0(x) \tilde{Z}(\lambda) \\ & + (I'_0(x)|\lambda| - \lambda^2 q I_0(x)) K_0(x) Z(\lambda) \\ & = (-K'_0(x)|\lambda| + \lambda^2 q K_0(x)) I_0(x) K_0(x) M(\lambda) \\ & - (\lambda^2 q I_0(x) + |\lambda| I'_0(x)) K_0(x) f(\lambda), \end{aligned}$$

где $x = |\lambda|d$.

Решая данную систему получим, что

$$Z(\lambda) = Z_1(|\lambda|d) f(\lambda) + I_0(\lambda d) M(\lambda) Z_2(|\lambda|d), \quad (15)$$

где

$$\begin{aligned} Z_1(|\lambda|d) &= \frac{(q+p)}{d} \frac{(\lambda d)^2}{\Delta(|\lambda|d)}, \\ Z_2(|\lambda|d) &= -\frac{2}{\Delta(|\lambda|d)} \left[(\lambda d)^2 (K_1(|\lambda|d))^2 \right. \\ & \quad \left. + \frac{pq}{d^2} (\lambda d)^4 (K_0(|\lambda|d))^2 \right], \\ \Delta(|\lambda|d) &= \frac{q-p}{d} \lambda d^2 - 2(\lambda d)^2 K_1(|\lambda|d) I_1(|\lambda|d) \\ & \quad + 2 \frac{pq}{d^2} (\lambda d)^4 K_0(|\lambda|d) I_0(|\lambda|d). \end{aligned}$$

Для выполнения граничных условий (3), (5), (6) представим $U_2^{(2)}(\rho, z)$ через эллипсоидальные гармонические функции, используя соответствующую теорему сложения [3,9]. Тогда

$$U_2^{(2)}(\alpha, \beta) = U_0 \sum_{n=0}^{\infty} D_n P_n(\text{ch } \alpha) P_n(\cos \beta), \quad (16)$$

где

$$D_n = i^n (2n+1) \int_{-\infty}^{\infty} \frac{j_n(c\lambda)}{I_0(\lambda d)} Z(\lambda) d\lambda. \quad (17)$$

Согласно представлениям (9), (10), (16), условие непрерывности потенциала на поверхности эллипсоида S_1 в силу ортогональности полиномов Лежандра

$P_n(\cos \beta)$ на отрезке $[0, \pi]$ эквивалентно условию

$$\tilde{y}_n = y_n + d D_n P_n(\text{ch } \alpha_0); \quad n = 0, 1, 2, \dots \quad (18)$$

Выполняя граничные условия (3), (6) и принимая во внимание представление (18) и вронскиан [7]

$$W\{P_n(\text{ch } \alpha), Q_n(\text{ch } \alpha)\} = -\frac{1}{\text{sh}^2 \alpha},$$

получим парные сумматорные уравнения вида

$$\begin{aligned} \sum_{n=0}^{\infty} y_n P_n(\cos \beta) &= \sum_{n=0}^{\infty} (V_0 \delta_{0n} - d D_n P_n(\text{ch } \alpha_0)) P_n(\cos \beta), \\ & 0 \leq \beta < \beta_0, \\ \sum_{n=0}^{\infty} \frac{y_n}{\text{sh } \alpha_0 P_n(\text{ch } \alpha_0) Q_n(\text{ch } \alpha_0)} P_n(\cos \beta) &= 0, \\ & \beta_0 < \beta \leq \pi, \end{aligned} \quad (19)$$

где δ_{0n} — символ Кронекера, $V_0 = V_d/U_0$.

Введем в рассмотрение новые коэффициенты T_n по формуле

$$y_n = (2n+1) \text{sh } \alpha_0 P_n(\text{ch } \alpha_0) Q_n(\text{ch } \alpha_0) T_n \quad (20)$$

и малый параметр

$$\begin{aligned} g_n &= 1 - (2n+1) \text{sh } \alpha_0 P_n(\text{ch } \alpha_0) Q_n(\text{ch } \alpha_0), \\ g_n &= O(n^{-2}) \quad \text{при } n \rightarrow \infty. \end{aligned} \quad (21)$$

Тогда парные уравнения (19) преобразуются к виду

$$\begin{aligned} \sum_{n=0}^{\infty} (1 - g_n) T_n P_n(\cos \beta) \\ = \sum_{n=0}^{\infty} (V_0 \delta_{0n} - d D_n P_n(\text{ch } \alpha_0)) P_n(\cos \beta), \quad \beta < \beta_0, \\ \sum_{n=0}^{\infty} (2n+1) T_n P_n(\cos \beta) = 0, \quad \beta_0 < \beta. \end{aligned}$$

Вышеприведенные парные сумматорные уравнения преобразуются к бесконечной системе линейных алгебраических уравнений (СЛАУ) второго рода относительно коэффициентов $T_n \in l_2$ [8,9]

$$\begin{aligned} T_s - \sum_{n=0}^{\infty} g_n Q_{sn} T_n &= V_0 Q_{s0} \\ -d \sum_{n=0}^{\infty} D_n P_n(\text{ch } \alpha_0) Q_{ns}, \quad s &= 0, 1, 2, \dots, \end{aligned} \quad (22)$$

где

$$Q_{ns} = \frac{2}{\pi} \int_0^{\beta_0} \cos\left(n + \frac{1}{2}\right)x \cos\left(s + \frac{1}{2}\right)x dx$$

или

$$Q_{ns} = \frac{1}{\pi} \left[\frac{\sin(n-s)\beta_0}{(n-s)} + \frac{\sin(n+s+1)\beta_0}{(n+s+1)} \right],$$

$$\frac{\sin(n-s)\beta_0}{(n-s)} \Big|_{n=s} = \beta_0.$$

Из представлений (14), (20) следует, что

$$M(\lambda) = \frac{c \operatorname{sh} \alpha_0}{\pi d} \times \sum_{k=0}^{\infty} (-i)^k (2k+1) j_k(c\lambda) P_k(\operatorname{ch} \alpha_0) T_k. \quad (23)$$

Используя последовательно представления (15), (17), (23) преобразуем правую часть системы (22). В результате получим бесконечную СЛАУ вида

$$T_s - \sum_{n=0}^{\infty} [g_n Q_{sn} - \alpha_{ns}] T_n = V_0 Q_{s0} - f_s;$$

$$s = 0, 1, 2, \dots, \quad (24)$$

где

$$\alpha_{ns} = \frac{\operatorname{sh} \alpha_0}{\pi} (-1)^n (2n+1) P_n(\operatorname{ch} \alpha_0) \times \sum_{p=0}^{\infty} i^{n+p} (2p+1) P_p(\operatorname{ch} \alpha_0) Q_{ps} I_{np}, \quad (25)$$

$$I_{np} = 2\tau \int_0^{\infty} j_n(\tau t) j_p(\tau t) Z_2(t) dt,$$

$$\tau = \frac{c}{d}, \quad n+p \text{ — четное}, \quad (26)$$

$$f_s = \sum_{n=0}^{\infty} (2n+1) P_n(\operatorname{ch} \alpha_0) Q_{ns} J_n, \quad (27)$$

$$J_n = 2 \int_0^{\infty} j_n(\tau t) Z_1(t) K_0(\sigma t) p_n(t) dt, \quad \sigma = \frac{l}{d},$$

$$p_n(t) = \begin{cases} (-1)^{\frac{n}{2}} \cos\left(\frac{z_0}{d} t\right), & n \text{ — четное,} \\ (-1)^{\frac{n+3}{2}} \sin\left(\frac{z_0}{d} t\right), & n \text{ — нечетное.} \end{cases} \quad (28)$$

Вычисление коэффициента экранирования (ослабления) поля

Напряженность первичного поля в произвольной точке пространства $M_0(\rho, z)$ в отсутствие экранов равна

$$\mathbf{E}_d(M_0) = - \left(\frac{\partial U_d}{\partial \rho} \mathbf{e}_\rho + \frac{\partial U_d}{\partial z} \mathbf{e}_z \right)$$

$$= -U_0 \left[\int_{-\infty}^{\infty} f(\lambda) \frac{I'_0(\lambda \rho)}{I_0(\lambda d)} \lambda e^{i\lambda z} d\lambda \mathbf{e}_\rho + \int_{-\infty}^{\infty} f(\lambda) \frac{I_0(\lambda \rho)}{I_0(\lambda d)} (i\lambda) e^{i\lambda z} d\lambda \mathbf{e}_z \right].$$

Если точка $M_0(\rho, z)$ находится на оси Oz , то $\rho = 0$ и $I_0(0) = 1, I_1(0) = 0$. Поэтому

$$\mathbf{E}_d(0, z) = -U_0 \int_{-\infty}^{\infty} f(\lambda) (i\lambda) e^{i\lambda z} d\lambda \mathbf{e}_z$$

$$= \frac{2U_0}{d^2} \int_0^{\infty} K_0(\sigma t) I_0(t) t \sin\left[\frac{t(z-z_0)}{d}\right] dt \mathbf{e}_z. \quad (29)$$

Напряженность вторичного поля в произвольной точке M_0 на оси Oz области D_2 равна

$$\mathbf{E}_2(M_0) = \mathbf{E}_2^{(1)}(M_0) + \mathbf{E}_2^{(2)}(M_0), \quad (30)$$

где

$$\mathbf{E}_2^{(2)}(M_0) = - \left(\frac{\partial U_2^{(2)}}{\partial \rho} \mathbf{e}_\rho + \frac{\partial U_2^{(2)}}{\partial z} \mathbf{e}_z \right) \Big|_{\rho=0}$$

$$= -U_0 \int_{-\infty}^{\infty} \frac{Z(\lambda)}{I_0(\lambda d)} (i\lambda) e^{i\lambda z} d\lambda \mathbf{e}_z.$$

Принимая во внимание представления (15), (23), после некоторых преобразований получим, что

$$\mathbf{E}_2^{(2)}(0, z) = -U_0 [I_{12}(z) + I_{22}(z)] \mathbf{e}_z, \quad (31)$$

где

$$I_{12}(z) = -\frac{2}{d^2} \int_0^{\infty} Z_1(t) K_0(\sigma t) t \sin\left(\frac{t(z-z_0)}{d}\right) dt,$$

$$I_{22}(z) = \frac{2c \operatorname{sh} \alpha_0}{\pi d^3} \sum_{k=0}^{\infty} (2k+1) P_k(\operatorname{ch} \alpha_0) T_k H_k(z),$$

$$H_k(z) = \int_0^{\infty} Z_2(t) j_k(\tau t) t W_k(z, t) dt,$$

$$W_k(t, z) = \begin{cases} (-1)^{\frac{3k+2}{2}} \sin\left(\frac{z}{d}t\right), & k \text{ — четное,} \\ (-1)^{\frac{3k+2}{2}} \cos\left(\frac{z}{d}t\right), & k \text{ — нечетное.} \end{cases}$$

Согласно представлению (10),

$$\mathbf{E}_2^{(1)}(M_0) = -\frac{1}{c\sqrt{\text{sh}^2\alpha + \sin^2\beta}} \left[\frac{\partial U_2^{(1)}}{\partial\alpha} \mathbf{e}_\alpha + \frac{\partial U_2^{(1)}}{\partial\beta} \mathbf{e}_\beta \right],$$

где

$$\frac{\partial U_2^{(1)}}{\partial\alpha} = \frac{U_0 \text{sh}\alpha}{d} \sum_{n=0}^{\infty} \frac{y_n}{Q_n(\text{ch}\alpha_0)} \frac{d}{d\xi} Q_n(\xi) \Big|_{\xi=\text{ch}\alpha} P_n(\cos\beta),$$

$$\frac{\partial U_2^{(1)}}{\partial\beta} = -\frac{U_0}{d} \sin\beta \sum_{n=0}^{\infty} \frac{y_n}{Q_n(\text{ch}\alpha_0)} \times Q_n(\text{ch}\alpha) \frac{d}{d\xi} P_n(\xi) \Big|_{\xi=\cos\beta}.$$

Если точка находится на оси Oz , то $|z| > b$, $\beta = 0$ или $\beta = \pi$, поэтому

$$\mathbf{E}_2^{(1)}(0, z) = \begin{cases} \mathbf{E}_2^{(1+)}(0, z) = -\frac{1}{c \text{sh}\alpha} \frac{\partial U_2^{(1)}}{\partial\alpha} \mathbf{e}_z, & \text{если } z > b, \beta = 0, \\ \mathbf{E}_2^{(1-)}(0, z) = \frac{1}{c \text{sh}\alpha} \frac{\partial U_2^{(1)}}{\partial\alpha} \mathbf{e}_z, & \text{если } z < -b, \beta = \pi, \end{cases}$$

где

$$\mathbf{E}_2^{(1+)}(0, z) = -U_0 \frac{\text{sh}\alpha_0}{cd} \sum_{n=0}^{\infty} (2n+1) \times P_n(\text{ch}\alpha_0) T_n \frac{d}{d\xi} Q_n(\xi) \Big|_{\xi=\frac{z}{c}} \mathbf{e}_z,$$

$$\mathbf{E}_2^{(1-)}(0, z) = U_0 \frac{\text{sh}\alpha_0}{cd} \sum_{n=0}^{\infty} (-1)^n (2n+1) \times P_n(\text{ch}\alpha_0) T_n \frac{d}{d\xi} Q_n(\xi) \Big|_{\xi=\frac{z}{c}} \mathbf{e}_z,$$

Коэффициент экранирования (ослабления) поля в точке $M_0(0, z)$, расположенной на оси Oz в области D_2 , вычисляем по формуле

$$K_2^{(\pm)}(z) = \frac{|\mathbf{E}_2^{(1\pm)}(0, z) + \mathbf{E}_2^{(2)}(0, z)|}{|\mathbf{E}_d(0, z)|}. \quad (32)$$

Напряженность вторичного поля в произвольной точке M_0 на оси Oz области D_1 равна

$$\mathbf{E}_1(0, z) = \begin{cases} \mathbf{E}_1^{(+)}(0, z) = -\frac{1}{c \text{sh}\alpha} \frac{\partial U_1}{\partial\alpha} \mathbf{e}_z, & \text{если } 0 \leq z < b, \beta = 0, \\ \mathbf{E}_1^{(-)}(0, z) = \frac{1}{c \text{sh}\alpha} \frac{\partial U_1}{\partial\alpha} \mathbf{e}_z, & \text{если } -b < z \leq 0, \beta = \pi, \end{cases}$$

где

$$\mathbf{E}_1^{(+)}(0, z) = -\frac{U_0}{cd} \sum_{n=0}^{\infty} \frac{\tilde{y}}{P_n(\text{ch}\alpha_0)} \frac{d}{d\xi} P_n(\xi) \Big|_{\xi=\frac{z}{c}} \mathbf{e}_z,$$

$$\mathbf{E}_1^{(-)}(0, z) = \frac{U_0}{cd} \sum_{n=0}^{\infty} (-1)^n \frac{\tilde{y}}{P_n(\text{ch}\alpha_0)} \frac{d}{d\xi} P_n(\xi) \Big|_{\xi=\frac{z}{c}} \mathbf{e}_z.$$

Согласно представлениям (15), (17), (18), (20), (23), следует, что

$$\begin{aligned} \frac{\tilde{y}}{P_n(\text{ch}\alpha_0)} &= (2n+1) \text{sh}\alpha_0 Q_n(\text{ch}\alpha_0) T_n \\ &+ (2n+1) J_n + \frac{\text{sh}\alpha_0}{\pi} (2n+1) \\ &\times \sum_{k=0}^{\infty} (-1)^k i^{n+k} (2k+1) P_k(\text{ch}\alpha_0) T_k I_{nk}. \end{aligned}$$

Коэффициент экранирования (ослабления) поля в точке $M_0(0, z)$, расположенной на оси Oz в области D_1 , вычисляем по формуле

$$K_1^{(+)}(z) = \frac{|\mathbf{E}_1^{(\pm)}(0, z)|}{|\mathbf{E}_d(0, z)|}. \quad (33)$$

Вычислительный эксперимент

С помощью математической системы MathCAD 2000 [10] проведены вычисления коэффициента экранирования $K_1^{+}(z)$ в области D_1 для различных геометрических параметров экранов и материала

Отношение $\frac{z}{b}$	Значение угла раствора Θ_0 незамкнутой эллипсоидальной оболочки в градусах		
	60	90	120
$\frac{2}{15}$	$\frac{0.956}{0.016}$	$\frac{0.943}{0.0078}$	$\frac{0.551}{0.00045}$
$\frac{3}{15}$	$\frac{0.695}{0.011}$	$\frac{0.694}{0.0047}$	$\frac{0.291}{0.00041}$
$\frac{4}{15}$	$\frac{0.429}{0.0089}$	$\frac{0.421}{0.0031}$	$\frac{0.173}{0.00039}$
$\frac{1}{3}$	$\frac{0.284}{0.0073}$	$\frac{0.274}{0.0021}$	$\frac{0.112}{0.00038}$
$\frac{7}{15}$	$\frac{0.137}{0.0051}$	$\frac{0.131}{0.0011}$	$\frac{0.05}{0.00037}$
$\frac{3}{5}$	$\frac{0.069}{0.0034}$	$\frac{0.067}{0.00056}$	$\frac{0.024}{0.00036}$
$\frac{11}{15}$	$\frac{0.039}{0.0021}$	$\frac{0.037}{0.00039}$	$\frac{0.013}{0.00035}$
$\frac{13}{15}$	$\frac{0.018}{0.00094}$	$\frac{0.016}{0.00028}$	$\frac{0.008}{0.00024}$

тонкостенной оболочки Γ по формуле (33). Бесконечные суммы (25), (27) вычислялись с точностью 10^{-6} . Бесконечная СЛАУ (24) решалась методом усечения [11] с точностью 10^{-5} . Расчеты проведены для случаев, когда тонкостенная оболочка Γ выполнена из органического стекла ($\varepsilon_r = 3.7$, $\gamma = 10^{-12} \Omega^{-1} \cdot \text{m}^{-1}$) [12] и материала типа PPV ($\varepsilon_r = 5$, $\gamma = 0.1 \Omega^{-1} \cdot \text{m}^{-1}$), $\varepsilon = \varepsilon_r \cdot \varepsilon_0$, $\varepsilon_0 = (1/36\pi) 10^{-9} \text{F} \cdot \text{m}^{-1}$, $\mu = \mu_0 = 4\pi \cdot 10^{-7} \text{H} \cdot \text{m}^{-1}$.

В таблице приведены значения коэффициента экранирования $K^{(+)}(z)$ в зависимости от угла раствора Θ_0 незамкнутой эллипсоидальной оболочки S и месторасположения точки $M_0(0, z)$ при $b/a = 1.5$, $d/b = 2$, $d/l = 0.6$, $\Delta = 0.01d$, $V = 0$, $z_0 = 0$, $f = 50 \text{Hz}$. В каждой строке таблицы верхние значения соответствуют органическому стеклу, нижние — материалу типа PPV.

На основании вычислительного эксперимента можно сделать следующие выводы.

1. Если тонкостенная цилиндрическая оболочка Γ выполнена из материала типа PPV, то коэффициент экранирования $K_1^{(+)}(z)$ практически равен нулю для любого угла раствора Θ_0 эллипсоидальной оболочки S , т.е. поле не проникает в область D_1 .

2. При увеличении угла раствора Θ_0 эллипсоидальной оболочки S коэффициент экранирования $K_1^{(+)}(z)$ уменьшается.

3. При увеличении значения z коэффициент экранирования $K^{(+)}(z)$ уменьшается для всех значений угла раствора Θ_0 эллипсоидальной оболочки S .

Список литературы

- [1] Жуков С.В. // Изв. АН СССР. Энергетика и транспорт. 1983. № 5. С. 54–58.
- [2] Штицберг В.Е. // Изв. АН СССР. Энергетика и транспорт. 1989. № 1. С. 110–115.
- [3] Ерофеевко В.Т. Электромагнитные поля в экранирующих оболочках. Минск: Университетское изд-во, 1988. 246 с.
- [4] Аполлонский С.М., Ерофеевко В.Т. Эквивалентные граничные условия в электродинамике. СПб.: Безопасность, 1999. 416 с.
- [5] Лебедев Н.Н. Специальные функции и их приложения. М.; Л.: ГИТТЛ, 1953. 380 с.
- [6] Арсенин В.Я. Методы математической физики и специальные функции. М.: Наука, 1984. 384 с.
- [7] Справочник по специальным функциям с формулами, графиками и математическими таблицами / Под ред. М. Абрамовица, И. Стигана. М.: Наука, 1979. 840 с.
- [8] Уфлянд Я.С. Метод парных уравнений в задачах математической физики. Л.: Наука, 1977. 220 с.
- [9] Шушкевич Г.Ч. Расчет электростатических полей методом парных, тройных уравнений с использованием теорем сложения. Гродно: ГрГУ, 1999. 238 с.
- [10] Шушкевич Г.Ч., Шушкевич С.В. Введение в MathCAD 2000. Гродно: ГрГУ, 2001. 140 с.
- [11] Канторович Л.В., Крылов В.И. Приближенные методы высшего анализа. М.; Л.: Физматгиз, 1962. 708 с.
- [12] Енохович А.С. Справочник по физике. М.: Просвещение, 1990. 384 с.